

Зависимость энергетического альбеда от  $E_{\gamma, \max}$  представлена на рисунке. Для  $E_{\gamma, \max} = 3 \div 100 \text{ МэВ}$  эта зависимость с достаточно хорошим приближением описывается формулой

$$a_E = K E_{\gamma, \max}^{-C}$$

где  $K$  и  $C$  — константы, значения которых вычислены и приведены в таблице.

Как следует из рисунка, для алюминия рассчитанные значения энергетического альбеда хорошо совпадают с данными эксперимента [2]. Для барьеров из железа и свинца при  $E_{\gamma, \max} > 10 \text{ МэВ}$  значение альбеда, определенное экспериментально, больше расчетного; это расхождение возрастает с увеличением атомного номера отражателя. Наблюдаемое расхождение, очевидно, объясняется вкладом в альбеда неучтенных в расчете процессов (тормозное излучение вторичных электронов, взаимодействие  $\gamma$ -квантов с ядром), которые играют существенную роль при средних и больших энергиях.

(№ 376/5462. Поступила в Редакцию 8/VII 1969 г. Полный текст 0,5 а. л., 1 рис., 3 табл., 7 библиографических ссылок.)

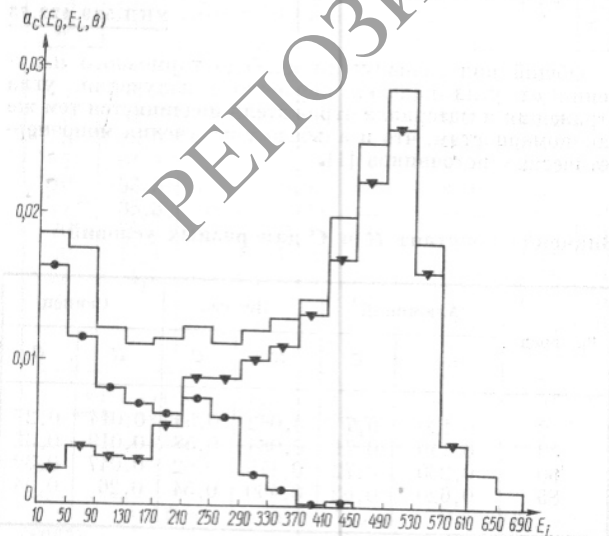
ЛИТЕРАТУРА

1. Б. П. Булатов, Б. А. Ефименко, В. Г. Золотухин и др. Альбеда  $\gamma$ -излучения. М., Атомиздат, 1968.
2. S. Sugiyama, T. Tomimasu. Nucl. Instrum. and Methods, 53, 346 (1967).

Спектрально-угловое распределение обратно рассеянных  $\gamma$ -квантов  $\text{Cs}^{137}$ , выходящих из различных участков поверхности отражателя

А. В. ПИЧУГИН, Д. Б. ПОЗДНЕЕВ

Приведены количественные результаты экспериментального исследования спектрально-углового распределения обратно рассеянного  $\gamma$ -излучения точечного изотропного источника  $\text{Cs}^{137}$ , выходящего в плотном контакте с рассеивателем из графита, в зависимости от расстояния  $r$  от источника до исследуемой точки на поверхности отражателя. На рисунке приведены



УДК 539.125.52

полученные данные для углов вылета  $\theta$ , равных  $15^\circ$  и  $60^\circ$  (угол  $\theta$  отсчитывается от нормали к поверхности отражателя в исследуемой точке, причем он считается положительным, если источник и детектор находятся по разные стороны от указанной нормали, и отрицательным, если они расположены по одну сторону от нее).

В статье приводятся дифференциальные энергетические спектры отраженного  $\gamma$ -излучения для  $\theta$ , равного  $-30 \div +60^\circ$ , через  $15^\circ$  и для различных расстояний  $r$  (от 4 до 24 см). Дано физическое объяснение полученных данных. Исследовано влияние покрытий из кадмия и железа на спектрально-угловое пространственное распределение отраженных квантов (на рисунке приведен дифференциальный энергетический спектр для случая, когда отражателем служит графит с покрытием из кадмия толщиной 1 мм).

(№ 375/5517. Поступила в Редакцию 1/VIII 1969 г. Полный текст 0,5 а. л., 3 рис., 3 табл., 10 библиографических ссылок.)

Дифференциальные энергетические спектры  $a_c(E_0, E_i, \theta)$  обратно рассеянных  $\gamma$ -квантов точечного изотропного источника  $\text{Cs}^{137}$ , выходящих из области вблизи точки, удаленной от источника первичного  $\gamma$ -излучения на  $r = 16 \text{ см}$ .

— — полубесконечная среда из графита,  $\theta = 60^\circ$ ;  
 —●— то же,  $\theta = 15^\circ$ ; —▼— 1 мм кадмия + полубесконечная среда из графита,  $\theta = 60^\circ$ . (По оси ординат — число обратно рассеянных фотонов на 1 первичный фотон  $\cdot 4\pi \text{ стерад} \cdot 1 \text{ МэВ} \cdot 1 \text{ см}^2$  поверхности сцинтиллятора.)